



Luolakankaan Tuulipuisto Oy

Luolakankaan tuulivoimapuiston välkeselvitys

101017675-001

Tekijä
Mika Laitinen

pvm
05/04/2023

Osasto
Wind and Solar Power and New Energy Systems

Projektinumero
101017675-001

E-mail
mika.laitinen@afry.com

Raporttiversio
002

Raportin tila
VALMIS

Asiakas

Luolakankaan Tuulipuisto Oy

Luolakankaan tuulivoimapuiston välkeselvitys

Raporttihistoria

Versio	Pvm/Laatiija	Pvm/Tarkastaja	Merkinnät/Muutokset
001	19.01.2023/ Mika Laitinen, Senior Consultant	19.01.2023/ Erkki Heikkola, Senior Consultant	Alkuperäinen
002	05.04.2023/ Mika Laitinen, Senior Consultant	05.04.2023/ Erkki Heikkola, Senior Consultant	Lisätty yhteisvaikutusten arviointi

Aineistojen käyttöoikeudet

Selvityksessä on käytetty Maanmittauslaitoksen ja Ilmatieteen laitoksen avoimien aineistojen käyttöluupien alaista materiaalia, jotka on lisensoitu Creative Commons Nimeä 4.0 Kansainvälinen -lisenssillä: <https://creativecommons.org/licenses/by/4.0/deed.fi>.

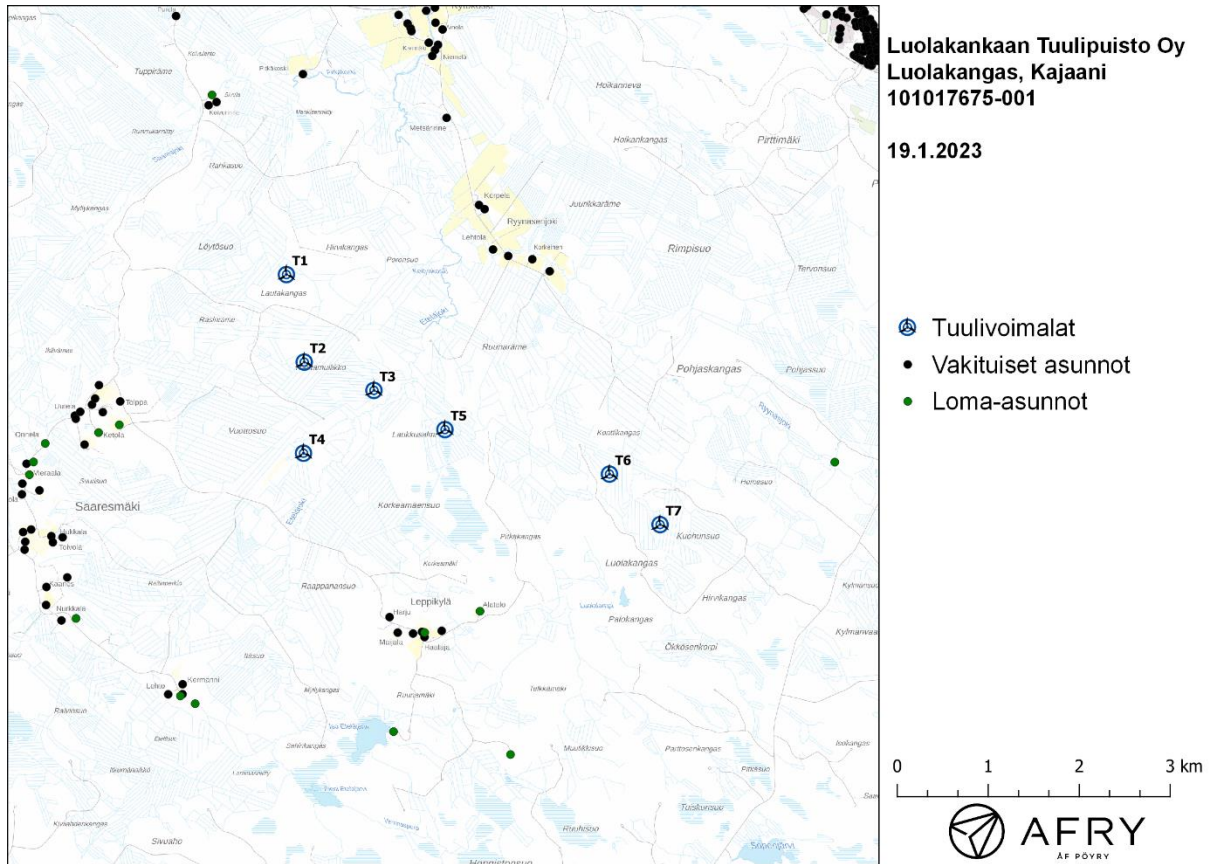
Sisällysluettelo

1	Johdanto	4
2	Tuulivoimaloiden välke	6
2.1	Välkevaikutus	6
2.2	Välkkeen rajoittaminen	6
2.3	Arvioinnin epävarmuudet	6
2.4	Ohjeavrot	7
3	Tuulivoimakohteen välkemallinnus	8
3.1	Mallinnusmenetelmä ja lähtöaineisto	8
3.2	Todennäköinen välkevaikutus	11
3.3	Teoreettinen maksimivälke	13
3.4	Luolakankaan ja läheisten tuulivoimapuistojen yhteisvaikutukset	13
4	Yhteenveto	17
5	Välkevaikutuksen laskentamenetelmä	18
6	Viitteet	20

1 Johdanto

Selvityksessä arvioidaan Kajaanin kaupungin alueelle suunnitellun Luolakankaan tuulivoimapuiston aiheuttamaa välkevaikutusta laskennallisten mallien avulla. Arviointi tehdään seitsemän voimalan sijoitussuunnitelmalle. Voimaloiden sijainnit on esitetty karttapohjalla kuvassa (Kuva 1) ja koordinaatit annettu taulukossa (Taulukko 1). Mallinuksissa Luolakankaan voimaloille on käytetty napakorkeutta 200 m ja roottorin halkaisijaa 200 m.

Tässä selvityksessä arvioidaan myös välkkeen yhteisvaikutuksia Luolakankaan lähelle suunniteltujen tai rakennettujen tuulivoimapuistojen kanssa.



Kuva 1: Tuulivoimaloiden sijainnit Luolakankaan tuulivoimapuiston alueella.

Taulukko 1: Luolakankaan tuulivoimaloiden sijaintikoordinaatit ETRS-TM35FIN-koordinaatistossa ja maaston korkeus turbiinipaikalla.

Turbiinit	E	N	Maaston korkeus [m]
T1	499015	7106351	165
T2	499210	7105390	164
T3	499976	7105079	160
T4	499202	7104390	165
T5	500756	7104649	161
T6	502563	7104161	165
T7	503119	7103606	171

2 Tuulivoimaloiden välke

2.1 Välkevaikutus

Välkevaikutuksella tarkoitetaan tilannetta, jossa Auringon paisteen ja tarkastelupisteen väliin jäävän voimalan lavat aiheuttavat välkkyvän varjon. Välke voi ulottua pisimmillään 1–3 km etäisyydelle voimalasta. Välkevaikutuksen etäisyyteen ja keston vaikuttavat tuulivoimalan korkeus ja roottorin halkaisija, vuoden- ja vuorokaudenaika, maaston muodot sekä näkyvyyttä rajoittavat tekijät kuten kasvillisuus ja pilvisuus.

Suomen sijainnin vuoksi yksittäisen tuulivoimalan välkevaikutus kohdistuu valtaosin voimalan pohjoispuolelle (päiväaika) sekä lounais- ja kaakkoispuolille (aamu- ja ilta-ajat). Suomessa voimala aiheuttaa välkevaikutusta eteläpuolelleen vain pohjoisen napapiirin pohjoispuolella.

Välkevaikutuksen laskenta voi perustua joko teoreettisen maksimivälkkeen tai todennäköisen tilanteen mallinnukseen:

- Teoreettisen maksimivälkkeen laskennassa oletetaan, että päiväaikaan Aurinko paistaa jatkuvasti, tuulivoimalan roottori pyörii jatkuvasti, ja roottori on aina kohtisuorassa Aurinkoa kohden.
- Todennäköisen tilanteen mallinnuksessa otetaan huomioon paikallinen tilastollinen aineisto auringonpaisteen määrästä ja ajoittumisesta sekä tuulen suuntien ja nopeuksien jakautumisesta.

Tämän selvityksen väkelaskenta on tehty mallintamalla sekä todennäköinen välkeaika että teoreettinen maksimivälke.

2.2 Välkkeen rajoittaminen

Välkevaikutusta voidaan vähentää voimalakohtaisella välkkeen hallintatyökalulla (shadow flicker protection system), joka sisältää valoanturin ja välkkeenhallintasovelluksen. Työkalun avulla voimala voidaan pysäyttää joko havaitun auringonpaisteen perusteella ja/tai haluttuina vuoden- ja kellon-aikoina. Pysäytetty voimala ei aiheuta välkettä.

2.3 Arvioinnin epävarmuudet

Mallinnettu todennäköinen välkevaikutus edustaa todennäköistä tilannetta perustuen auringonpaisteen ja tuulisuuden tilastolliseen aineistoon. Yksittäisen vuoden sääolosuhteet saattavat poiketa merkittävästi keskimääräisistä olosuhteista, jolloin vuotuinen välkevaikutus voi poiketa mallinnetusta arvosta.

Puusto voi rajoittaa merkittävästi näkyvyyttä turbiineille ja vähentää vuotuista välkevaikutusta. Puuston näkyvyyttä peittävä vaikutus vaihtelee kuitenkin vuosien ja vuodenaikojen suhteen, mikä lisää arvioinnin epävarmuutta. Mallinnuksen tuloksiin vaikuttaa myös käytettävien tausta-aineistojen tarkkuus ja mallintamisessa on tehtävä yleistyksiä liittyen puuston tiheyteen ja korkeuteen.

Rakennuksiin kohdistuvan välkkeen laskennassa käytetään ns. kasvihuone-oletusta, jolloin rakennukseen kohdistuva välkevaikutus huomioidaan riippumatta suunnasta. Todellisuudessa välkevaikutus kohdistuu rakennuksen sisätiloihin vain ikkunoiden suunnasta.

2.4 Ohjearvot

Tuulivoimaloiden välkevaikutukselle ei ole Suomessa määritelty ohjearvoja. Ympäristöministeriön ohjeissa tuulivoimapuiston suunnitteluun suositellaan käytettäväksi muiden maiden suosituksia välkemäärien osalta [1]. Tässä selvityksessä välkeaikoja verrataan Ruotsin, Tanskan ja Saksan ohjearvoihin.

Tanskassa on määritetty todennäköisen vuotuisen välketuntimäärän suositusarvoksi 10 tuntia. Ruotsissa vastaava todennäköisen välkkeen suositusarvo on 8 tuntia vuodessa ja korkeintaan 30 minuuttia päivässä [2]. Saksassa todennäköisen vuotuisen välkkeen raja-arvo on 8 tuntia. Teoreettisen maksimivälkkeen raja-arvot Saksassa ovat 30 tuntia vuodessa ja korkeintaan 30 minuuttia päivässä.

3 Tuulivoimakohteen välkemallinnus

3.1 Mallinnusmenetelmä ja lähtöaineisto

Tuulivoimaloiden aiheuttama välkevaikutus (shadow flicker) arvioitiin AFRY Numerola mallinnusohjelmistolla. Ohjelmiston laskentamalli huomioi auringon paikan vuoden eri aikoina, tuulivoimalueen ja sen ympäristön maastonmuodot sekä tuuliturbiinien dimensiot. Laskennan tuloksena saadaan tieto siitä, kuinka monta tuntia vuodessa alueen eri kohteet ovat välkevaikutuksen alaisena. Tulosta havainnollistetaan tasa-arvokäyrästä, jonka perusteella voidaan arvioida varjostusvaikutusta tarkastelualueella.

Tarkastelualueiden maanpinnan korkeuserot on saatu Maanmittauslaitoksen aineistosta *Korkeusmalli 10 m*. Korkeusdatan vaakaresoluutio on 10 m ja pystysuorainen tarkkuus 1,4 m. Laskennassa huomioitiin korkeuserot siten, että jos Auringon, turbiinin ja tarkastelupisteen kautta kulkeva jana leikkaa maanpintaa, niin varjostusta ei esiinny. Välkevaikutus laskettiin 1,5 m korkeudelle. Auringonpaistekulman rajana horisontista käytettiin kolmea astetta, jonka alle menevää säteilyä ei oteta huomioon varjostuksessa.

Turbiinin lapojen aiheuttama varjo heikkenee asteittain liikuttaessa etäämmälle turbiinista, eikä tietyn etäisyyden jälkeen varjo ole enää ihmissilmän havaittavissa. Tämä etäisyys riippuu turbiinin lavan leveydestä, ja esimerkiksi Ruotsin tuulivoimarakentamisen suunnitteluohjeistuksessa määritellään, että välkevaikutus huomioidaan mikäli lapa peittää vähintään 20 % Auringosta. Käytännössä tämä asettaa lavan leveydestä riippuvan maksimietäisyyden yksittäisen turbiinin aiheuttamalle välkevaikutukselle, eikä sen ulkopuolella välkevaikutusta ole.

Yleensä väkelaskennan maksimietäisyyden laskenta perustuu lavan keskimääräiseen leveyteen, joka määrää maksimietäisyyden. Käytännössä turbiinin lapa ei ole vakiolevyinen: Levein kohta sijaitsee lähellä turbiinin napaa, ja lapa kapenee huomattavasti kärkeä kohti liikuttaessa. Tällä perusteella lavan tyven välkevaikutus ulottuu huomattavasti pidemmälle kuin lavan kärjen, mikäli arviointiperusteena käytetään Auringon peittoastetta. Tässä selvityksessä väkelaskennassa ei ole käytetty tavanomaista maksimietäisyyttä, vaan on huomioitu turbiinin muuttuva lapaprofiili.

Väkelaskennassa Luolakankaan voimaloille on käytetty napakorkeutta 200 m ja roottorin halkaisijaa 200 m. Voimaloille on käytetty turbiinityypin SG170 6,2 MW lapaprofiilia skaalattuna roottorin halkaisijalle 200 m. Lapaprofiilia on skaalattu sekä pidemmäksi että leveämmäksi. Skaalatun lavan maksimileveys on 4,7 m. Laskentamenetelmän yksityiskohdat on kuvattu luvussa 5.

Todelliseen välkevaikutukseen vaikuttavat turbiinien käyttöaste, puusto ja paikallinen säätä (pilvisuus ja tuulisuus). Jos esimerkiksi tuulen suunta on kohtisuorassa auringon ja tarkastelupisteen välistä linjaa vasten, ei varjostusvaikutusta esiinny. Varjostuksen laskennassa turbiinin orientaatio voidaan määrittää, jolloin roottori oletetaan tiettyyn suuntaan asetetuksi ympyrätasoksi. Todennäköisen välkevaikutuksen laskenta on suoritettu kuudella eri turbiinien orientaatiolla. Tämä vastaa 12 tuulen suuntasektorin varjostustuloksia, sillä vastakkaiset tuulensuunnat aiheuttavat välkkeen kannalta efektiivisesti saman roottorin orientaation. Kullakin tuulen suunnalla laskettua välketuntimäärää on skaalattu Suomen tuuliatlaksesta [3] saatavan suuntasektorin esiintymisfrekvensillä ja suuntaakohtaisesta nopeusjakaumasta määritellyn turbiinin käyntinopeuksien ajallisella osuudella. Käynnistysnopeutta alemmissa tai pysäytysnopeutta korkeammassa tuulissa

turbiinit ovat paikallaan, jolloin roottorin pyörimisestä aiheutuvaa valon välkkymistä ei esiinny. Suomen tuuliatlaksen tuulisuusestimaatti on otettu tuulivoima-alueen keskeltä korkeudelta 200 m, ja sen perusteella lasketut suuntasektorikohtaiset osuudet turbiinin käyntinopeusvälille osuville tuulille on lueteltu taulukossa (Taulukko 2).

Paikallinen pilvisuus on huomioitu skaalaamalla eri roottoriorientaatioilla laskettuja varjostusaikoja Kuopion lentoaseman sääasemalta mitattujen auringonpaistetuntien suhteellisella osuudella teoreettisesta maksimipaistetuntien määrästä [4]. Sääaseman mittausten perusteella lasketut kuukausittaiset auringonpaisteen todennäköisyydet on koottuna taulukkoon (Taulukko 3). Suunta-kohtaisesti skaalatut väketuntimäärät yhteen laskien saadaan arvio todellisesta, säätilan huomioon-ottavasta väketuntimäärästä tarkastelualueella.

Taulukko 2: Suuntasektorikohtaiset osuudet yli 3 m/s tuulenopeuksille Suomen tuuliatlaksen perusteella.

Suuntasektori	0/180	30/210	60/240	90/270	120/300	150/330
Yli 3 m/s osuus	0,203	0,181	0,142	0,142	0,126	0,143

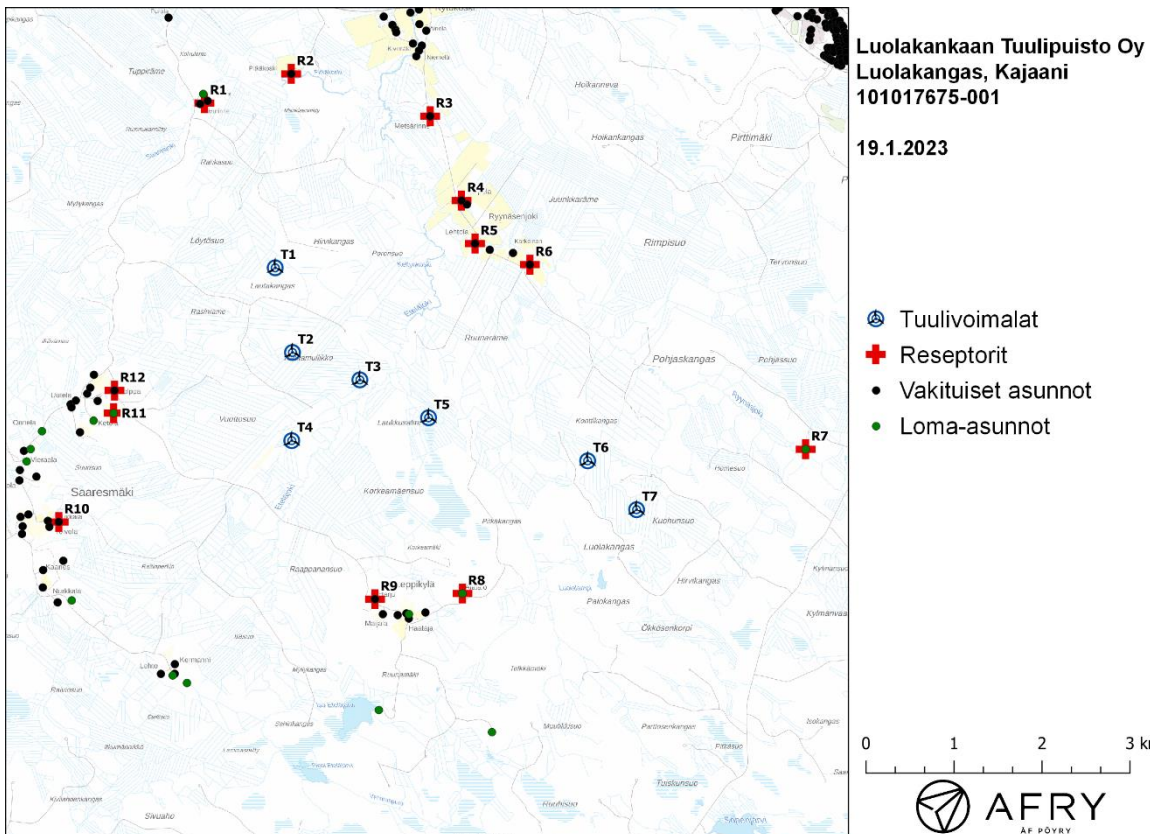
Taulukko 3: Auringonpaisteen kuukausittaiset todennäköisyydet Kuopion lentoaseman sääasemalla.

Kuukausi	Auringonpaisteen todennäköisyys
Tammikuu	0,154
Helmikuu	0,262
Maaliskuu	0,332
Huhtikuu	0,432
Toukokuu	0,454
Kesäkuu	0,424
Heinäkuu	0,456
Elokuu	0,406
Syyskuu	0,299
Lokakuu	0,186
Marraskuu	0,108
Joulukuu	0,082

Taulukossa (Taulukko 4) on määritelty tuulivoimaloiden ympäristöstä 12 vertailukiinteistöä, joiden kohdilla välkevaikutusta tarkastellaan tarkemmin. Kiinteistöjen sijaintipisteitä kutsutaan reseptoripisteiksi, ja niiden paikat suhteessa tuulivoimaloihin on esitetty karttapohjalla (Kuva 2). Kiinteistöt sijaitsevat 2,0–2,8 km etäisyydellä lähimmistä voimaloista. Kartoissa näkyvät vakituiset ja vapaa-ajan asuinrakennukset on ladattu Maanmittauslaitoksen maastotietokannasta.

Taulukko 4: Reseptorien koordinaatit ETRS-TM35FIN-koordinaatistossa.

Reseptori	E	N	Maaston korkeus [m]	Rakennusluokitus
R1	498211	7108217	148	vakituinen asuinrakennus
R2	499197	7108549	144	vakituinen asuinrakennus
R3	500775	7108069	141	vakituinen asuinrakennus
R4	501131	7107111	140	vakituinen asuinrakennus
R5	501285	7106624	137	vakituinen asuinrakennus
R6	501908	7106385	140	vakituinen asuinrakennus
R7	505039	7104290	146	loma-asunto
R8	501142	7102654	191	loma-asunto
R9	500149	7102589	206	vakituinen asuinrakennus
R10	496557	7103465	213	vakituinen asuinrakennus
R11	497181	7104699	201	loma-asunto
R12	497190	7104956	194	vakituinen asuinrakennus



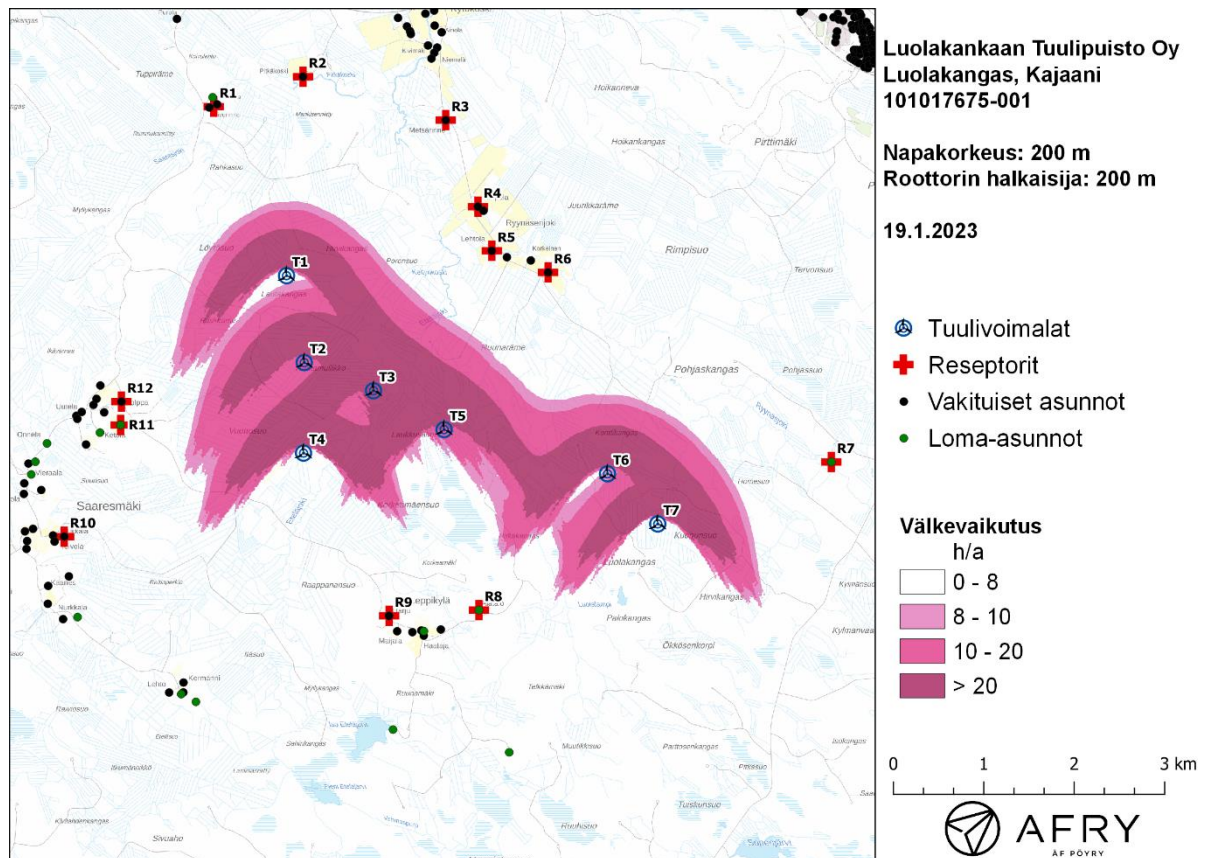
Kuva 2: Reseptoreiden paikat tuulivoimapuiston hankealueella.

3.2 Todennäköinen välkevaikutus

Mallinnetut arviot todennäköisen välkeajan vuotuisesta määrästä on esitetty karttakuvana (Kuva 3). Mallinnuksessa ei ole huomioitu paikallisen puuston vaikutusta turbiinien näkyvyyteen ja välkevaikutukseen. Karttoihin on merkitty ympäristössä sijaitsevat loma- ja asuinrakennukset käyttäen lähtötietona Maanmittauslaitoksen maastotietokannan sisältämiä tietoja.

Todennäköiset vuotuiset ja suurimmat päiväkohtaiset välkevaikutusajat reseptoreiden kohdilla on lueteltu taulukossa (Taulukko 5). Mallinnusten perusteella todennäköinen vuotuinen välkevaikutus jää alle Ruotsin 8 tunnin ohjearvon ja Tanskan 10 tunnin ohjearvon kaikkien alueen loma-asuntojen ja asuinrakennusten kohdilla. Suurimmat päiväkohtaiset välkevaikutusajat reseptoreiden kohdilla jäävät alle Ruotsin 30 minuutin ohjearvon molemmilla sijoitussuunnitelmissa.

Suurin välkevaikutus kohdistuu reseptoriin R8. Todennäköisen välkkeen tarkempi ajoittuminen tämän reseptorin kohdalla on esitetty taulukossa (Taulukko 6). Taulukossa esitetyt kellonajat ovat aikavyöhykkeen UTC+2 mukaisia (Suomen talviaika).



Kuva 3: Todennäköinen vuotuinen välkevaikutus.

Taulukko 5: Todennäköisen välkevaikutuksen vuotuinen määrä ja suurin päiväkohtainen välkeika reseptoreiden kohdilla.

Reseptori	Todennäköinen vuotuinen välkeika	Todennäköinen suurin päiväkohtainen välkeika
R1	0:24	0:02
R2	0:20	0:01
R3	0:00	0:00
R4	0:34	0:02
R5	1:23	0:02
R6	0:53	0:02
R7	0:28	0:03
R8	2:57	0:05
R9	0:00	0:00
R10	0:00	0:00
R11	1:05	0:03
R12	1:56	0:04

Taulukko 6: Todennäköisen välkevaikutuksen ajoittuminen ja kesto minuutteina ja tunteina reseptorin R8 kohdalla.

Kellonaika	0-2	2-4	4-6	6-8	8-10	10-12	12-14	14-16	16-18	18-20	20-22	22-24	
Tammikuu	0:00	0:00	0:00	0:00	0:00	0:00	0:00	0:00	0:00	0:00	0:00	0:00	0:00
Helmikuu	0:00	0:00	0:00	0:00	0:00	0:00	0:00	0:00	0:00	0:00	0:00	0:00	0:00
Maaliskuu	0:00	0:00	0:00	0:00	0:00	0:00	0:00	0:00	0:00	0:00	0:00	0:00	0:00
Huhtikuu	0:00	0:00	0:06	0:00	0:00	0:00	0:00	0:00	0:00	0:00	0:00	0:00	0:06
Toukokuu	0:00	0:06	0:15	0:00	0:00	0:00	0:00	0:00	0:00	0:00	0:00	0:00	0:21
Kesäkuu	0:00	1:20	0:00	0:00	0:00	0:00	0:00	0:00	0:00	0:00	0:00	0:00	1:20
Heinäkuu	0:00	0:51	0:00	0:00	0:00	0:00	0:00	0:00	0:00	0:00	0:00	0:00	0:51
Elokuu	0:00	0:00	0:19	0:00	0:00	0:00	0:00	0:00	0:00	0:00	0:00	0:00	0:19
Syyskuu	0:00	0:00	0:00	0:00	0:00	0:00	0:00	0:00	0:00	0:00	0:00	0:00	0:00
Lokakuu	0:00	0:00	0:00	0:00	0:00	0:00	0:00	0:00	0:00	0:00	0:00	0:00	0:00
Marraskuu	0:00	0:00	0:00	0:00	0:00	0:00	0:00	0:00	0:00	0:00	0:00	0:00	0:00
Joulukuu	0:00	0:00	0:00	0:00	0:00	0:00	0:00	0:00	0:00	0:00	0:00	0:00	0:00
Yhteensä	0:00	2:16	0:41	0:00	0:00	0:00	0:00	0:00	0:00	0:00	0:00	0:00	2:57

3.3 Teoreettinen maksimivälke

Teoreettisen maksimivälkkeen vuotuiset ja suurimmat päiväkohtaiset välkevaikutusajat reseptoreiden kohdilla on lueteltu taulukossa (Taulukko 7). Vuotuinen teoreettinen maksimivälke jää alle Saksan 30 tunnin ohjearvon kaikkien asuntojen kohdilla. Myös teoreettisen maksimivälkkeen suurin päiväkohtainen arvo jää alle Saksan 30 minuutin ohjearvon.

Taulukko 7: Teoreettisen maksimivälkkeen vuotuinen määrä ja suurin päiväkohtainen välke aika reseptoreiden kohdilla.

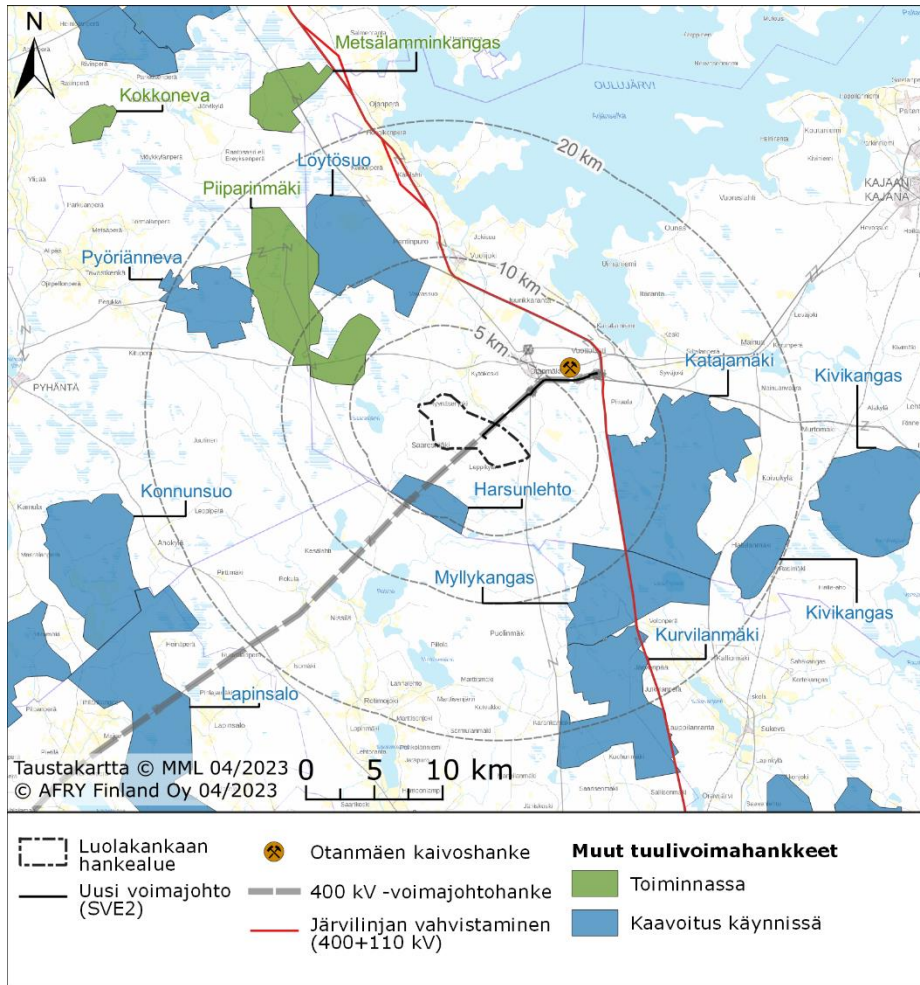
Reseptori	Teoreettinen vuotuinen maksimivälke	Teoreettinen päiväkohtainen maksimivälke
R1	4:16	0:15
R2	4:07	0:13
R3	0:00	0:00
R4	4:09	0:11
R5	11:04	0:15
R6	8:01	0:14
R7	2:37	0:14
R8	10:54	0:21
R9	0:00	0:00
R10	0:00	0:00
R11	5:08	0:13
R12	8:16	0:14

3.4 Luolakankaan ja läheisten tuulivoimapuistojen yhteisvaikutukset

Tässä luvussa arvioidaan Luolakankaan voimaloiden ja läheisten tuulivoimapuistojen välkkeen yhteisvaikutuksia. Suomen ja Ruotsin mallinnusohjeiden [1][2] mukaan välkevaikutus ulottuu enintään 3 km etäisyydelle voimaloista. Yhteisvaikutusten arvioinnissa riittää siis mallintaa yhteisvaikutukset, kun eri puistojen voimaloiden etäisyys on alle 6 km.

Luolakankaan läheisyyteen suunnitellut tai rakennetut tuulivoimapuistot on esitetty karttapohjalla (Kuva 4). Kokkosuon tuulivoimapuiston kaavoitus ei ole vielä käynnistynyt, joten sitä ei huomioida yhteisvaikutusten arvioinnissa. Harsulehdon tuulivoimapuiston voimalat ovat lähimmillään 5,0 km etäisyydellä Luolakankaan voimaloista ja tällä etäisyydellä välkkeen yhteisvaikutuksia saattaa esiintyä. Seuraavaksi lähin puisto on Piiparinmäki, jonka voimalat ovat lähimmillään 7,4 km etäisyydellä Luolakankaan voimaloista. Muiden tuulivoimapuistojen voimalat ovat vielä kauempana. Tällä perusteella riittää tarkastella Luolakankaan ja Harsunlehdon välkkeen yhteisvaikutuksia.

Harsunlehdon tuulivoimapuistossa on viisi voimalaa, joiden koordinaatit on annettu taulukossa (Taulukko 8). Mallinuksissa Harsunlehdon voimaloille on käytetty napakorkeutta 185 m ja roottorin halkaisijaa 190 m. Voimaloille on käytetty turbiinityypin SG170 6,2 MW lapaprofilia skaalattuna roottorin halkaisijalle 190 m. Skaalatun lavan maksimivälke on 4,65 m.

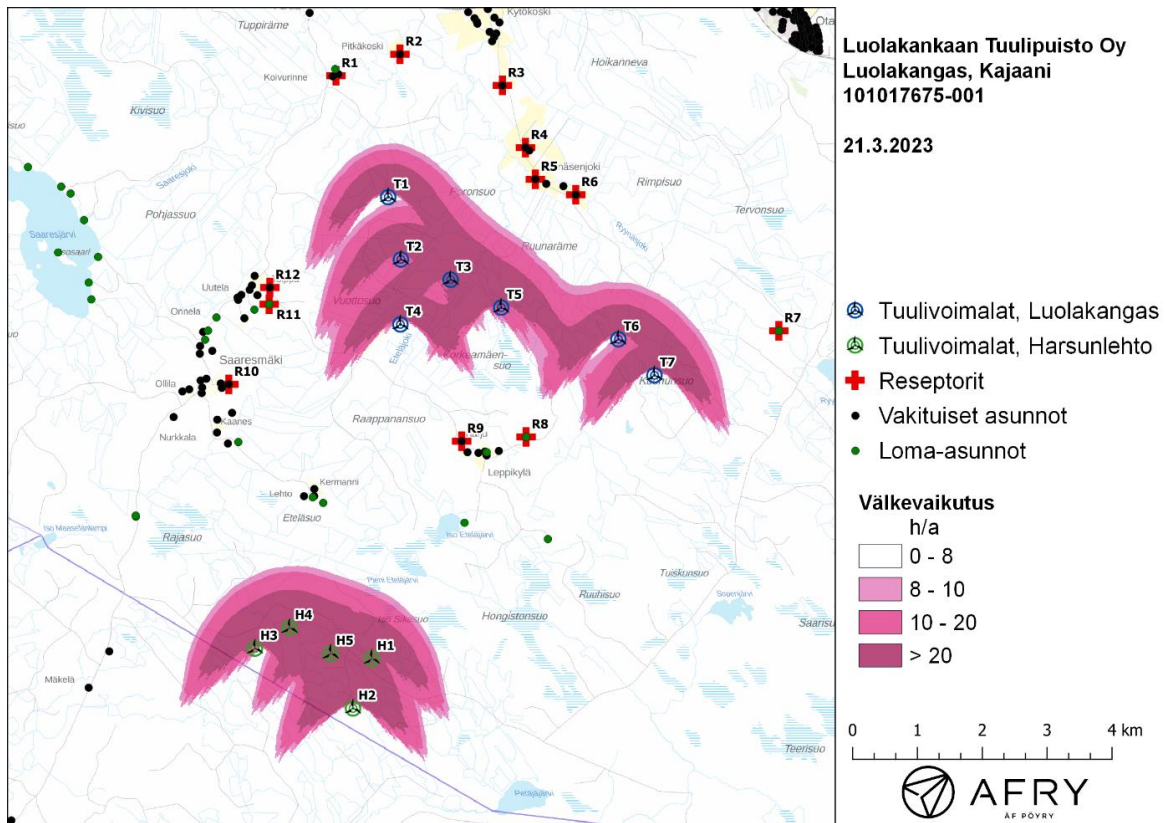


Kuva 4: Luolakankaan läheisyyteen suunnitellut tai rakennetut tuulivoimapaistot.

Taulukko 8: Harsunlehdon tuulivoimaloiden sijaintikoordinaatit ETRS-TM35FIN-koordinaatistossa ja maaston korkeus turbiinipaikalla.

Turbiinit	E	N	Maaston korkeus [m]
H1	498763	7099240	215
H2	498471	7098474	210
H3	496959	7099397	207
H4	497494	7099716	212
H5	498128	7099320	214

Luolakankaan ja Harsunlehdon todennäköisen välkkeen yhteisvaikutusten mallinnus on esitetty karttakuvana (Kuva 5). Todennäköiset välkeajat ja teoreettisen maksivälke reseptoreiden kohdilla on listattu taulukossa (Taulukko 9). Mallinnusten perusteella Luolakankaan ja Harsunlehdon voimaloista ei aiheudu välkkeen yhteisvaikutuksia asutukselle. Reseptorien kohdalla välke aiheutuu ainoastaan Luolakankaan voimaloista.



Kuva 5: Todennäköinen vuotuinen välkevaikutus, kun mallinnoissa huomioidaan Luolakankaan ja Harsunlehdon voimalat.

Taulukko 9: Todennäköinen välke aika ja teoreettinen maksimivälke reseptoreiden kohdilla, kun mallinuksissa huomioidaan Luolakankaan ja Harsunlehdon voimat.

Reseptori	Todennäköinen vuotuinen välke aika	Todennäköinen suurin päiväkohtainen välke aika	Teoreettinen vuotuinen maksimivälke	Teoreettinen päiväkohtainen maksimivälke
R1	0:24	0:02	4:16	0:15
R2	0:20	0:01	4:07	0:13
R3	0:00	0:00	0:00	0:00
R4	0:34	0:02	4:09	0:11
R5	1:23	0:02	11:04	0:15
R6	0:53	0:02	8:01	0:14
R7	0:28	0:03	2:37	0:14
R8	2:57	0:05	10:54	0:21
R9	0:00	0:00	0:00	0:00
R10	0:00	0:00	0:00	0:00
R11	1:05	0:03	5:08	0:13
R12	1:56	0:04	8:16	0:14

4 Yhteenveto

Raportissa on esitetty Kajaanin kaupungin alueelle suunnitellun Luolakankaan tuulivoimapuiston ympäristölleen aiheuttaman välkevaikutuksen laskennallinen arvio. Vaikutusten arvio on tehty seitsemän voimalan sijoitussuunnitelmalle. Vaikutusten arvioinnissa on huomioitu myös Luolakankaan läheisyyteen suunnitellut tai rakennetut tuulivoimapuistot.

Tuulivoimaloiden välkevaikutukselle ei ole Suomessa määritelty ohjearvoja, ja ympäristöministeriö suosittelee käyttämään muiden maiden ohjearvoja. Mallinnusten mukaan todennäköinen vuotuinen välkevaikutus jää alle Ruotsin 8 tunnin ohjearvon ja Tanskan 10 tunnin ohjearvon alueen kaikkien vakituisten ja vapaa-ajan asuntojen kohdilla. Todennäköinen päiväkohtainen välkeaika alittaa Ruotsin 30 minuutin ohjearvon alueen kaikkien asuntojen kohdilla. Teoreettinen vuotuinen maksimivälke jää alle Saksan 30 tunnin raja-arvon kaikkien asuntojen kohdilla. Myös teoreettisen maksimivälkkeen päiväkohtainen alittaa Saksan 30 minuutin raja-arvon kaikkien asuntojen kohdilla.

Luolakankaan voimaloista ja se läheisyyteen suunnitelluista tai rakennetuista tuulivoimapuistoista ei aiheudu välkkeen yhteisvaikutuksia asutukselle.

5 Välkevaikutuksen laskentamenetelmä

Välkevaikutuksen laskennassa hyödynnetään taivaanpallon käsitettä, joka on maapallon maantieteellistä koordinaatistoa vastaava kuvitteellinen kuori katsottaessa maapalloa taivaalle. Samalla tavoin kuin paikan sijainti maapallolla voidaan ilmoittaa pituus- ja leveyspiirien avulla, voidaan taivaankappaleiden paikat taivaanpallolla ilmoittaa kahden koordinaatin (rektaskensio ja deklinaatio) avulla. Aurinko kulkee vuoden aikana taivaanpallolla kääntöpiirien väliin asettuvalla nauhalla, ja Auringon esiintymistiheys kyseisellä nauhalla voidaan esittää tiheysfunktiona.

Tiettyyn pisteeseen kohdistuvaa vuotuista välkevaikutusta laskettaessa tarkastellaan sitä osaa taivaanpallosta, joka näkyy pisteeseen tuulivoimaloiden roottorikehien läpi. Näkyvyyden arvioinnissa otetaan huomioon paikallinen maaston korkeusaineisto. Mikäli kääntöpiirien väliin asettuva nauha ei näy roottorikehien läpi, tarkastelupisteeseen ei kohdistu välkevaikutusta. Muussa tapauksessa yksittäisen turbiinin aiheuttamien välketuntien määrä saadaan integroimalla tiheysfunktioita turbiinin roottorikehien läpinäkyvällä taivaanpallon osuudella. Turbiinien yhteisvaikutus saadaan summaamalla turbiinikohtaiset välketunnit ottaen kuitenkin huomioon mahdolliset päällekkäisyydet roottorikehien peittämässä alueissa. Laskenta suoritetaan erikseen turbiinien eri orientaatioille, joita skaalataan suuntaakohtaisilla tuulisuusosuuksilla.

Huomioitaessa kuukausittaista (tai muuta lyhytaikaista) vaihtelua auringonpaisteen todennäköisyydessä, taivaanpallon nauha jaetaan vastaaviin osiin Auringon deklinaation mukaan. Tiheysfunktio määritellään näissä osissa erikseen, ja integroinnin tuloksia skaalataan kuukausikohtaisilla todennäköisyyksillä.

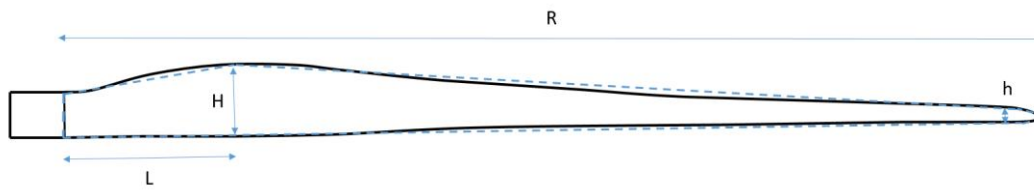
Turbiinin lapojen aiheuttama varjo heikkenee asteittain liikuttaessa etäämmälle turbiinista, eikä tietyn etäisyyden jälkeen varjo ole enää ihmissilmän havaittavissa. Tämä etäisyys riippuu turbiinin lavan leveydestä, ja esimerkiksi Ruotsin ja Saksan tuulivoimarakentamisen suunnitteluohjeistuksessa määritellään, että välkevarjostus huomioidaan, mikäli lapa peittää vähintään 20 % Auringosta. Käytännössä tämä asettaa lavan leveydestä riippuvan maksimietäisyyden yksittäisen turbiinin aiheuttamalle välkevaikutukselle, eikä sen ulkopuolella välkevaikutusta ole.

Kun lavan leveys on w metriä, niin 20 % Auringon peittoon perustuvan välkevarjostuksen maksimietäisyyden määrittämiseen voidaan johtaa laskentakaava

$$\text{maksimietäisyys} = (5 * d * w) / 1'097'780,$$

missä d on etäisyys Aurinkoon (150'000'000 km). Yleensä välkelaskennan maksimietäisyyden laskenta perustuu lavan keskimääräiseen leveyteen, joka määrää maksimietäisyyden. Käytännössä turbiinin lapa ei ole vakiolevyinen: Levein kohta sijaitsee lähellä turbiinin napaa ja lapa kapenee huomattavasti kärkeä kohti liikuttaessa. Tällä perusteella lavan tyven välkevaikutus ulottuu huomattavasti pidemmälle kuin lavan kärjen, mikäli arviointiperusteena käytetään Auringon peittoastetta.

Seuraavassa kaaviokuvassa (Kuva 6) on esitetty yksinkertaistettu malli tyypillisestä profiilista, jossa lavan maksimileveys on H etäisyydellä L lavan tyvestä. Lavan kokonaispituus on R ja lavan leveys 90 % etäisyydellä tyvestä on h . Lavan oletetaan kapenevan lineaarisesti arvosta H arvoon h liikuttaessa maksimikohdasta kärkeen. Tavanomaisesti välkelaskennassa turbiinin keskimääräinen leveys on määritetty parametrien H ja h keskiarvona.



Kuva 6: Turbiinin lavan yksinkertaistettu profiili.

Tämän raportin välkelaskennassa lavan leveys on määritetty useasta kohtaa lapaa, jolloin lavan muoto saadaan kuvattua vielä tarkemmin kuin kahteen leveysarvoon H ja h perustuvassa lineaarisessa approksimaatiossa. Tällä tavoin välkelaskennassa huomioidaan turbiinin muuttuva lapaprofiili, ja saadaan realistisempia tuloksia kuin olettamalla tietty keskimääräinen lavan leveys ja sitä vastaava kiinteä maksimietäisyys.

6 Viitteet

- [1] Tuulivoimarakentamisen suunnittelu. Päivitys 2016. Ympäristöhallinnon ohjeita 5|2016. Ympäristöministeriö, 2016.
- [2] Boverket: Vindkraftshandboken, Planering och prövning av vindkraftverk på land och i kustnära vattenområden, 2009.
- [3] B. Tammelin et al.: Production of the Finnish Wind atlas. Wind Energy, 2011.
- [4] P. Pirinen et al.: Tilastoja Suomen ilmastosta 1981-2010, Ilmatieteen laitos, Raportteja 2012:1.